



**POLITECNICO**  
**MILANO 1863**

**SCUOLA DI INGEGNERIA INDUSTRIALE  
E DELL'INFORMAZIONE**

## Prova Finale di Propulsione Aerospaziale

LAUREA TRIENNALE IN AEROSPACE ENGINEERING - INGEGNERIA AEROSPAZIALE

**Autori:** ALEX CRISTIAN TURCU, GIORGIA PALLARA, SILVIA PALA, RESHAL ANTONINO FERNANDO WARNAKULASURIYA,  
DANIELE PATERNOSTER

**Professore:** CHRISTIAN PARAVAN

**Anno accademico:** 2022-2023

---

### Sommario

La presente relazione di prova finale intende dare una descrizione dell'endoreattore F-1 prodotto da Rocketdyne. Cinque di questi motori vennero installati sul primo stadio S-IC del vettore Saturn V che portò il primo uomo sulla luna. L'obiettivo di questo stadio era quello di portare il razzo ad una quota di 61 km, fornendo un  $\Delta v \simeq 2300$  m/s.

Di seguito verranno analizzati i principali sistemi per un singolo motore, partendo dal sistema di alimentazione, passando per il sistema di generazione della potenza ed arrivando infine al sistema di espansione gasdinamico e al suo raffreddamento. Si provvederà inoltre a dare una descrizione quali/quantitativa delle scelte progettuali applicate ai tempi. Infine, verrà studiata una alternativa ai propellenti utilizzati, rimarcando le conseguenze sull'intero sistema propulsivo che tale variazione implica.

## Indice

<b>Sommario</b>	<b>I</b>
<b>Indice</b>	<b>II</b>
<b>1 Nomenclatura</b>	<b>1</b>
<b>2 Analisi della missione</b>	<b>1</b>
<b>3 Analisi dei propellenti</b>	<b>2</b>
<b>4 Dimensionamento dei tank</b>	<b>2</b>
<b>5 Schema termodinamico</b>	<b>2</b>
<b>6 Gas generator</b>	<b>3</b>
<b>7 Turbopompa</b>	<b>5</b>
<b>8 Piatto d'iniezione</b>	<b>6</b>
<b>9 Camera di spinta</b>	<b>7</b>
<b>10 Ugello gasdinamico</b>	<b>7</b>
<b>Appendice</b>	<b>8</b>
<b>A Codici MATLAB usati</b>	<b>8</b>
<b>B Confronto peso molecolare gas generator tra caso Fuel Rich e Oxidizer Rich</b>	<b>8</b>
<b>C Prodotti gas generator analizzati con software NASA CEA</b>	<b>8</b>
<b>D Schemi del gas generator</b>	<b>8</b>
<b>Bibliografia</b>	<b>9</b>

## 1. Nomenclatura

## 2. Analisi della missione

La missione prevede una durata totale di funzionamento dello stadio di 161 s, durante il quale l'obiettivo principale è quello di portare il vettore di lancio ad una altitudine approssimativa di 61 km e ad una velocità di circa 2388 m/s. La sequenza di accensione prevede l'avvio del motore centrale per primo, seguito in sequenza dalle due coppie di motori simmetrici, questi accesi con un ritardo di 300 ms allo scopo di ridurre al minimo le vibrazioni sulla struttura principale; il computer di bordo attende quindi il raggiungimento del valore di spinta massimo per inviare il comando di sgancio del razzo dalla rampa di lancio. Il vettore, una volta sganciato, non può più essere fermato. Ad un'altitudine fissata di 1300 metri, il Saturn V comincia una manovra di rollio attorno al suo asse al fine di raggiungere la traiettoria corretta per il prosieguo della missione. La totalità delle informazioni riguardanti le istruzioni per l'assetto e i venti dominanti nel periodo di lancio sono pre-registrate nel programma di lancio. È inoltre necessario lo spegnimento del motore centrale a  $t = 135$  s, prefissato da programma, per non superare i limiti strutturali di carico massimo sopportabile. La spinta, infatti, non è un fattore controllabile nei motori F-1 e, per ovviare a questo problema, si provvede quindi ad interrompere direttamente il flusso di propellente al motore. [1] [2]

Di seguito sono riportate le formule e i risultati di una simulazione della missione del primo stadio del Saturn V, il cui scopo è di analizzare le variazioni dei vari parametri di interesse del razzo durante tutto il tempo di volo. Tale simulazione è stata realizzata con l'ausilio del software MATLAB, con il quale è stato risolto il sistema di equazioni differenziali descritto più avanti. L'algoritmo numerico risolutivo scelto è il metodo di Eulero in avanti.

Per la simulazione del lancio è stato sviluppato un modello con determinate ipotesi semplificative al fine di descrivere l'intera dinamica del razzo:

- è stato utilizzato un modello di Terra piatta ed irrotazionale, al fine di adottare un sistema di riferimento inerziale, trascurando dunque effetti di variazione di traiettoria dovuti allo spostamento terrestre e variazioni di quota dovute al cambiamento di latitudine durante il volo;
- i valori di pressione e temperatura ambientale al variare della quota sono stati ottenuti mediante l'uso del Modello di Atmosfera Standard, ponendo una temperatura di riferimento al suolo di 25°C;
- il valore di portata massica del propellente ai motori è assunto costante durante tutto il funzionamento dello stadio, con una variazione del suo valore soltanto a seguito dello spegnimento del motore centrale al tempo prefissato;
- per ricavare le forze di resistenza aerodinamica e l'angolo di volo sono state utilizzate le curve sperimentali presenti nel report della missione dell'Apollo 11. [2]

Il modello matematico realizzato per la descrizione del vettore di lancio consta dunque delle seguenti equazioni:

$$\begin{aligned} h_k &= h_{k-1} + v_{v,k} dt & v_v &= \frac{da_v}{dt} & v_h &= \frac{da_h}{dt} & v_{tot} &= \sqrt{v_v^2 + v_h^2} \\ \phi &= \arctan \frac{v_h}{v_v} & a_v &= -g + \frac{T \cos \theta - D \cos \phi}{m} & a_h &= \frac{T \sin \theta - D \sin \phi}{m} \\ g &= \frac{\mu}{(R_T + h)^2} & m &= m_i - \dot{m} t & T &= T_{vac} - A_e p_e & D &= \frac{1}{2} \rho v_{tot}^2 S C_D \end{aligned}$$

Seppur il modello risulti semplificato rispetto alla complessa realtà fisica di funzionamento, si ottengono andamenti delle principali grandezze fisiche di interesse perfettamente in linea con gli andamenti tabellati forniti nel report del vettore di lancio. [2]

I requisiti fondamentali, ovvero il raggiungimento della quota prefissata e della velocità finale prima dello sgancio dello stadio S-IC, risultano soddisfatti e sufficientemente precisi, con un valore ottenuto di 59557 m e 2353 m/s.

Di seguito sono riportati i grafici di alcune grandezze in funzione del tempo di volo:

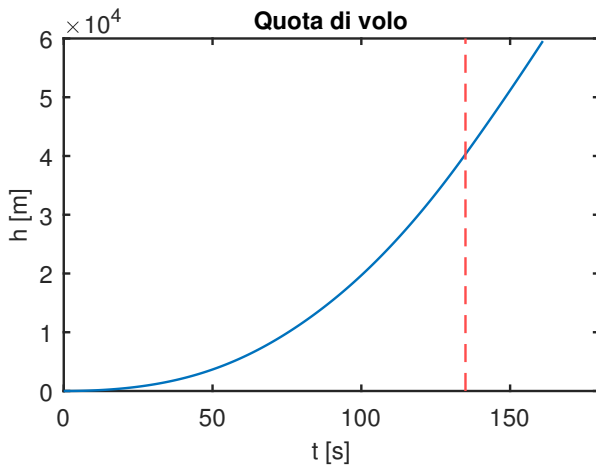


Figura 1: Quota in funzione del tempo

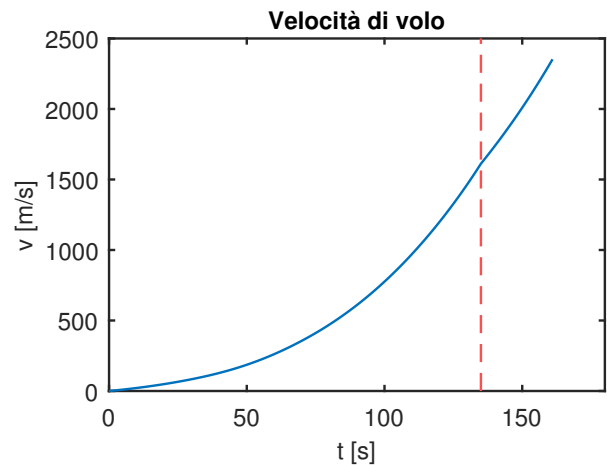


Figura 2: Velocità in funzione del tempo

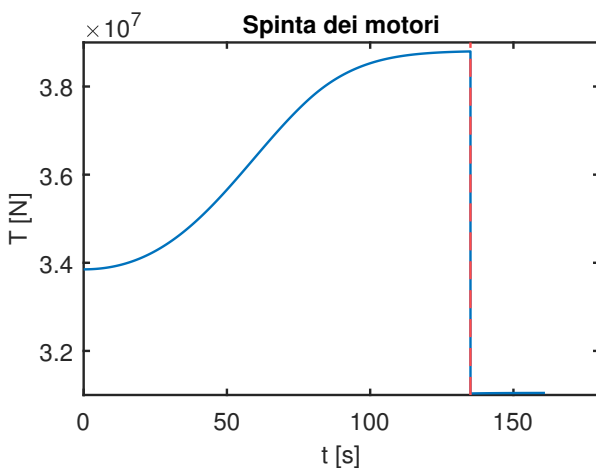


Figura 3: Spinta in funzione del tempo

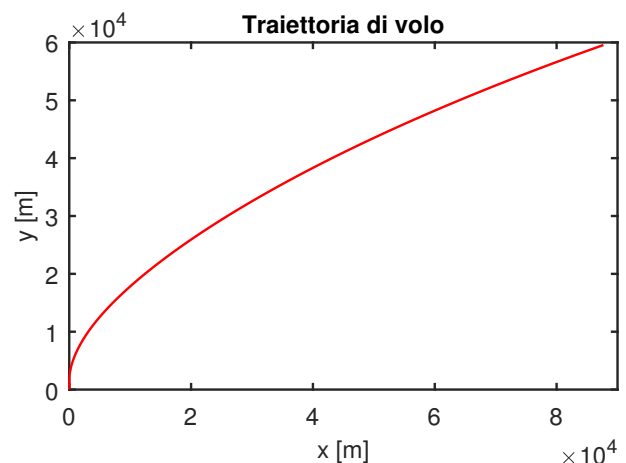


Figura 4: Traiettoria del vettore

Le evidenze sperimentali ci permettono quindi di assumere il modello implementato come effettivamente rappresentativo del lancio del Saturn V avvenuto nella realtà.

### 3. Analisi dei propellenti

### 4. Dimensionamento dei tank

### 5. Schema termodinamico

Lo schema termodinamico semplificato del sistema propulsivo F-1 viene presentato di seguito. Per poter trattare le principali grandezze termodinamiche quali sono la pressione  $P$ , la temperatura  $T$  e la portata massica  $\dot{m}$ , si è deciso di consultare i manuali del motore per poter estrapolare uno schema semplificativo a blocchi. [?] Nello schema presentato viene introdotto il sistema a ciclo generatore di gas che permette l'alimentazione della turbopompa. Supponendo il funzionamento a regime (Main Stage), l'alimentazione è completamente auto sostenuta finché non viene soppressa dai computer di bordo (al termine del  $t_{burn}$ ) o viene esaurito il propellente.

Qualitativamente, dai due serbatoi di LOX e RP1 viene spillata una portata, che viene trattata dalla turbopompa che porta in pressione i due liquidi. I due tank sono messi leggermente in pressione da un gas inerte: elio (e GOX nel tank LOX). Il motivo per cui si preferisce avere un gas in pressione è che permette una uscita facilitata dai due tank ed evita la cavitazione man mano che vengono svuotati i serbatoi. La turbopompa sarà trattata in dettaglio nei paragrafi successivi, data la sua complessità costruttiva. Per questo schema è sufficiente sapere che essa ha il compito di portare ad una certa pressione i due liquidi. Per poter alimentare le pompe, viene calettata sullo stesso asse in comune una turbina. Questa turbina viene mossa da dei gas caldi combusti in una piccola camera di combustione. Questo sottosistema viene chiamato Gas Generator o GG, viene alimentato da una portata spillata dopo le turbopompe della stessa coppia RP1/LOX con un eccesso di combustibile per evitare temperature elevate in ingresso turbina. I gas caldi in uscita dal GG vengono ulteriormente sfruttati per poter scaldare e quindi pressurizzare l'elio, successivamente tali gas di scarico vengono posti in uno tubo circonferenziale all'ugello nella posizione 10:1 di espansione delle aree del divergente, dove vengono scaricati sulla parete interna dell'estensione dell'ugello. Questo viene fatto per creare un film di gas relativamente freddi che hanno il compito di alleviare il carico termico sopportato da questa porzione di ugello (vedi appendice per rappresentazioni grafiche dettagliate). Il raffreddamento della parte superiore dell'ugello viene effettuato facendo passare il combustibile in diversi tubi esterni posti nella sezione tra gola e divergente 10:1, il combustibile dopo aver assorbito calore viene introdotto in camera di combustione. In tabella e figura vediamo alcuni dati rappresentativi del sistema intero. Si è ipotizzato di trattare i gas come gas perfetti, di assumere come dati alcuni rendimenti e alcune grandezze caratteristiche.

## 6. Gas generator

Il gas generator del motore F-1 è il sistema adibito alla produzione di gas caldi per alimentare la turbopompa. Tale sistema è composto da una camera di combustione progettata ad hoc per questo tipo di sottosistema. Vengono utilizzati gli stessi propellenti utilizzati nella camera principale ma con diverso rapporto O/F (valore in [Tabella 1](#)). La necessità di avere un O/F lontano dal valore stechiometrico è dettata dal contenere le temperature del flusso che impatterà sulla turbina: questo lo si ottiene con miscele ricche in ossidante o ricche in combustibile. In questo caso è stata scelta una miscela ricca in combustibile per molteplici motivi: evitare ossidazioni di componenti che sarebbero convenute con una miscela ad alta percentuale in LOX, diminuire la possibilità di eventuali guasti causati da flussi surriscaldati (più probabili nel caso Oxider Rich) e contenere il consumo specifico della turbina, poiché il peso molecolare dei gas risulta minore nel caso Fuel Rich ([Appendice B](#)).

La scelta di optare per una miscela FR ha anche alcuni aspetti negativi, tra cui la complessità della cinetica del processo chimico dovuta alla produzione di idrocarburi, che solitamente creano depositi solidi ([Appendice C](#)). Anche con questi valori bassi di O/F, la combustione nel GG viene completata in camera (quindi è molto rapida); al contrario, i processi di evaporazione e di mixing sono molto lenti. Tale problema si riscontra in maniera tangibile nei GG, mentre è meno evidente nelle camere di spinta dei LRE, dove tali processi sono più veloci. Per avere una buona evaporazione dei propellenti è necessaria una zona di combustione molto larga (più iniettori con portate minori), mentre per avere un buon mixaggio è necessaria una camera allungata in direzione del flusso: questi due problemi vengono ovviati tramite scelte di design specifiche trattate di seguito.

Nella creazione di un elemento GG, in particolare la sua camera di combustione, si devono considerare dei prerequisiti fondamentali per il suo corretto funzionamento:

- dato che l'atomizzazione degli iniettori spesso non è sufficiente, essa viene relegata anche ad effetti aerodinamici ottenuti tramite la geometria della camera, in modo il flusso del gas venga differenziato in zone di alta e bassa velocità che favoriscono la vaporizzazione;
- deve essere forzato il mixing tra prodotti di combustione e eccesso di combustibile per fornire una temperatura uniforme in uscita, in modo da evitare un guasto in turbina causato da zone calde, che solitamente sono localizzate al centro del flusso;

- forma e dimensione devono essere adattate all'ingombro del resto del motore, per avere un sistema il più compatto possibile;
- le perdite di pressione prodotte nella camera non devono essere troppo elevate.

Di seguito troviamo raffigurato il GG di nostro interesse (più particolari in [Appendice D](#)):

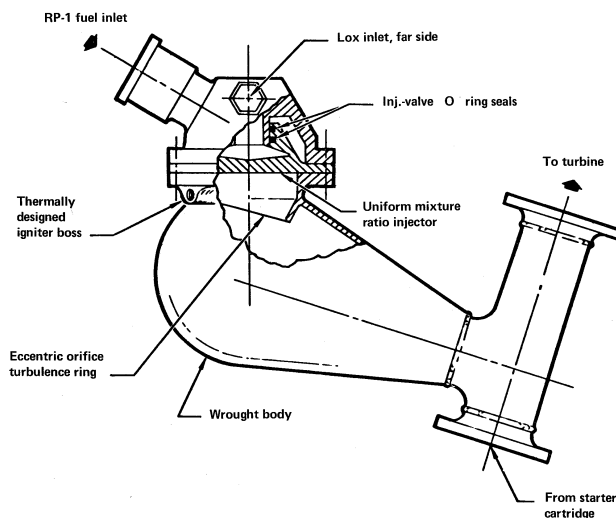


Figura 5: Schema del gas generator

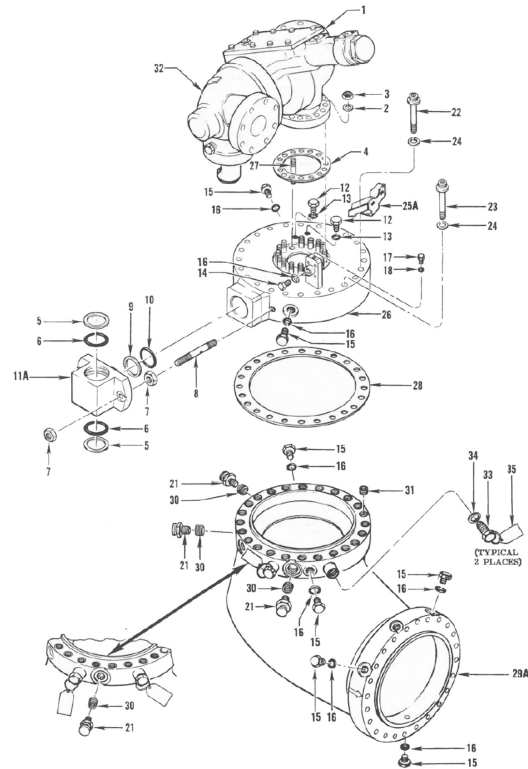


Figura 6: Esploso del gas generator

In base alle considerazioni sopra citate si spiegano alcune scelte progettuali per questo componente.

- La forma del GG, per cui lo scarico dei gas avviene in maniera inclinata rispetto alla direzione del piatto di iniezione, è dettata da requisiti di spazio e disposizione rispetto alle altre componenti.
- La scelta di camera sferica e non assiale permette di aumentare il livello di mixing di gas combusti e combustibile vaporizzato in eccesso.
- Il fondo della camera è incurvato e reso planare per non accumulare i prodotti di scarico.
- La zona di ingresso dei gas in turbina è composta da una sezione ad area costante, in modo da rendere il flusso il più uniforme possibile prima dell'ingresso in turbina.
- Il corpo della camera di combustione è convergente in maniera da differenziare la velocità e ottenere migliore atomizzazione.
- Il piatto di iniezione scelto per il GG è un semi-UMR (Uniform Mixture Ratio), ovvero ha le zone esterne più ricche in combustibile per ottenere film cooling, mentre la maggior parte dell'iniezione avviene a O/F predefinito. Altri iniettori, come HCI, hanno una stratificazione dei gas e delle temperature: ciò non è consigliabile per gas che devono impattare sulle palettature. Inoltre, un iniettore HCI non è compatibile con la forma arrotondata del corpo poiché provocherebbe un surriscaldamento del fondo della camera.
- L'iniettore deve avere diametri più ristretti possibile per migliorare atomizzazione, compatibilmente con quelli fabbricabili.
- Il TR (Turbulence Ring) viene posizionato poco dopo il piatto d'iniezione per rimediare ai problemi di basso ratio di mixing attraverso la creazione di un reverse flow. Questo permette un

alto livello di mescolamento tra specie presenti per uniformare così la temperatura ed evitare stratificazioni del flusso, le quali causerebbero il fenomeno di “momentum separation”, un flusso chiaramente non sostenibile dalla turbina. Questo reverse flow è reso più efficace grazie alla porzione circolare della camera che accoglie questo moto vorticoso. La posizione del TR è scelta per evitare il surriscaldamento dello stesso, dato che a monte della camera i gas vaporizzati devono ancora essere igniti e hanno dunque temperature relativamente basse. Il TR deve inoltre essere in grado di non provocare alte cadute di pressione: questo è ottenuto rendendo il TR conico (visibile in [Appendice D](#)).

- L’ignitore deve essere posizionato poco dopo il piatto di iniezione (una best practice è tra 2.5 e 3.8 cm dal piatto). Viene inoltre posizionato in zone molto vicine ai punti di ristagno del flusso, in cui la combustione viene resa efficace.

$T_c [K]$	$p_c [bar]$	$p_{out} [bar]$	$t_p [ms]$	$O/F$	$\dot{m}_{fuel} [kg/s]$	$\dot{m}_{ox} [kg/s]$
1062	67.57	65.15	5	0.416	53.52	22.23

Tabella 1: Dati reali del gas generator

Una stima quantitativa del volume totale necessario alla camera di combustione per adempiere alle richieste della stessa è basato su un tempo di permanenza, ricavato nel caso dei GG per ogni coppia di propellente. Nel caso del GG dell’F-1 si ha:

$$V_{cc} = t_p \frac{\dot{m}_{gg}}{\rho_{gc}} = 5 \cdot 10^{-3} \cdot \left( \frac{53.52 + 22.23}{18.3406} \right) m^3 = 0.02065 m^3$$

## 7. Turbopompa



## 8. Piatto d'iniezione

Gli iniettori sono collocati all'estremo superiore della camera di spinta e hanno lo scopo di distribuire il propellente in camera, regolando il rapporto di diluizione, la pressione e lo schema di spruzzo al fine di avviare e sostenere una combustione stabile. Per determinare questi valori sono stati necessari circa 3200 test su larga scala: al fine di generare un'esplosione controllata, risulta fondamentale che essa sia dinamicamente stabile, ossia che sia prevedibile e non crei punti caldi che porterebbero alla fusione di componenti del motore.

Il piatto di iniezione ha un diametro di 111.76 cm, è realizzato in CRES, acciaio molto resistente alla corrosione, ed è strutturato in 31 anelli, questi divisi in 13 scompartimenti da 2 deflettori circolari e 12 radiali. I vari compartimenti sono numerati da 1 a 13, mentre i deflettori sono identificati da lettere dalla A alla N.

La faccia del piatto di iniezione conta 1428 orifizi per l'ossidante e 1404 orifizi per il carburante. I getti vengono atomizzati attraverso una disposizione a doppietti omogenei, i vapori di combustibile e di ossidante si miscelano e reagiscono a formare i gas propellenti, destinati successivamente all'espansione in ugello.

Le 31 scanalature che costituiscono gli anelli consistono in 16 scanalature per il combustibile alternate alle 15 scanalature per l'ossigeno liquido. Gli anelli per il carburante sono alimentati attraverso un collettore radiale, mentre gli anelli per l'ossidante sono alimentati dal LOX dome tramite fori assiali.

Il LOX dome è considerabile il primo componente della camera di spinta: esso ha dimensioni 162.6 x 48.3 x 111.8 cm, con un peso di 818.3 kg; è realizzato in lega di ferro, rame e alluminio, con rivestimento in nichel e coating in silice. Il corpo del LOX dome contiene la flangia di attacco e i montanti di supporto per interfacciarsi con l'iniettore.

Il collettore invece incorpora due ingressi per il montaggio delle valvole di ossidante e una flangia per la linea di alimentazione dell'ossidante allo scambiatore di calore. Per evitare vorticità nell'ossidante, il collettore è isolato in due compartimenti da due argini toroidali. Solamente il 30% del combustibile viene indirizzato direttamente al collettore, mentre il restante 70% viene utilizzato per il raffreddamento rigenerativo della camera di spinta.

Sono inoltre presenti due alloggiamenti per gli ignitori del combustibile in ciascuno dei 12 scomparti esterni, e un alloggiamento del combustibile nel compartimento centrale, tutti collegati al collettore da singoli tubi di alimentazione.

Come detto precedentemente, è fondamentale ottenere una combustione stabile per non incorrere in danni alla camera di combustione: la stabilità è raggiunta principalmente mediante l'uso dei deflettori (baffles), oltre che variando l'angolo di impingement e il diametro degli orifizi in funzione della posizione sul piatto d'iniezione.

I deflettori in particolare alterano le caratteristiche acustiche di risonanza della camera di combustione, smorzando così le onde d'urto generate dalla combustione. I 12 deflettori radiali in rame sono alimentati dal deflettore circolare esterno. La configurazione dei deflettori utilizzata per il propulsore è stata ottenuta a seguito di vari test, nel quale si è ricercata la maggior stabilità di combustione possibile. Nella configurazione finale, i deflettori misurano circa 8 cm ciascuno e sono tutti dump-cooled, ovvero il raffreddamento è realizzato attraverso la circolazione di carburante all'interno del deflettore che viene successivamente scaricato nella camera di combustione.

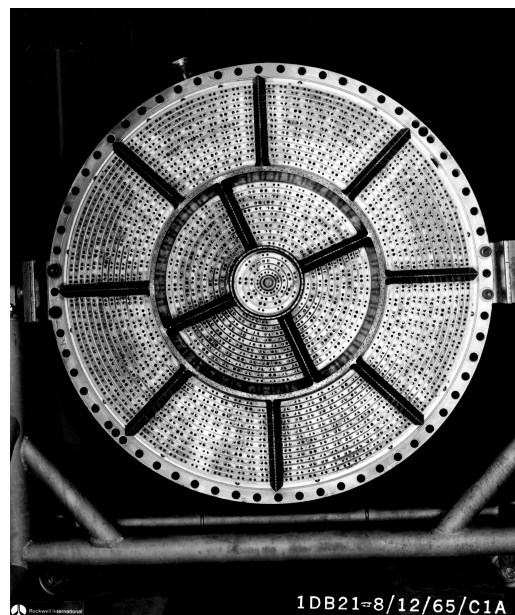


Figura 7: Piatto di iniezione



**9. Camera di spinta**

**10. Ugello gasdinamico**

## Appendice

- A. Codici MATLAB usati
- B. Confronto peso molecolare gas generator tra caso Fuel Rich e Oxidizer Rich
- C. Prodotti gas generator analizzati con software NASA CEA
- D. Schemi del gas generator

Per poter apprendere come l'O/F influisca sulla MM dei prodotti si è utilizzato il software NASA CEA. Si è utilizzato un problema HP perchè nell'analisi è importante capire anche la temperatura di equilibrio (abbiamo visto che il problema HP tendeva a sovrastimare la temperatura in camera, tuttavia come analisi preliminare, per l'attuale scopo ci interessa avere una linea guida generale). La temperatura di equilibrio in questo caso deve essere controllata attentamente poichè in uscita dal GG abbiamo il vincolo della palettatura di turbina. Si è imposto che la temperatura debba essere minore di 1500K sia in FR che OR. Si è fatto variare l'O/F da nel range 0.2/16, si sono plottati i grafici di MM e T in funzione dell'O/F.

## Bibliografia

- [1] George C. Marshall Space Flight Center. *Saturn V Flight Manual SA-507*. National Aeronautics and Space Administration, 10 1969.
- [2] George C. Marshall Space Flight Center. *Saturn V Launch Vehicle Flight Evaluation Report - AS-506 Apollo 11 Mission*. Technical report, 9 1969.